

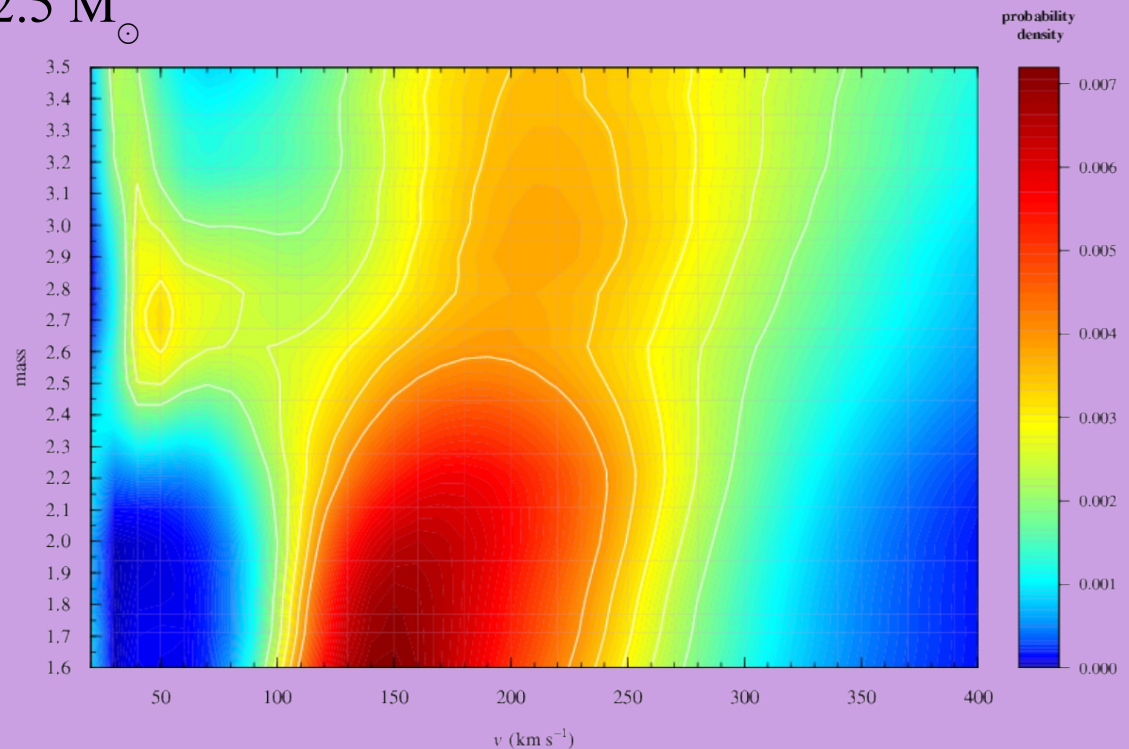
Abundances, radiative acceleration, stratification of elements in stars

Frédéric Royer (GEPI)
Georges Alecian (LUTH)
Richard Monier (LESIA / Lagrange)
Frank Delahaye (LERMA)

Context:

B8-A1 type stars with low $v \sin i$

- Distribution of equatorial velocities for intermediate mass stars
 - Known binary or chemically peculiar (CP) stars are discarded from the sample
 - Bimodality around $2.5 M_{\odot}$



Zorec & Royer (2012)

Observational programme – part A

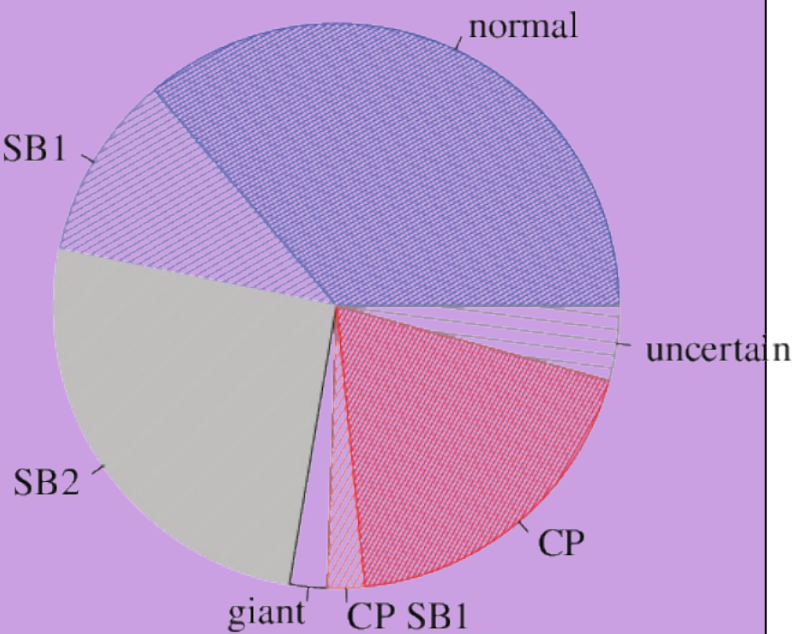
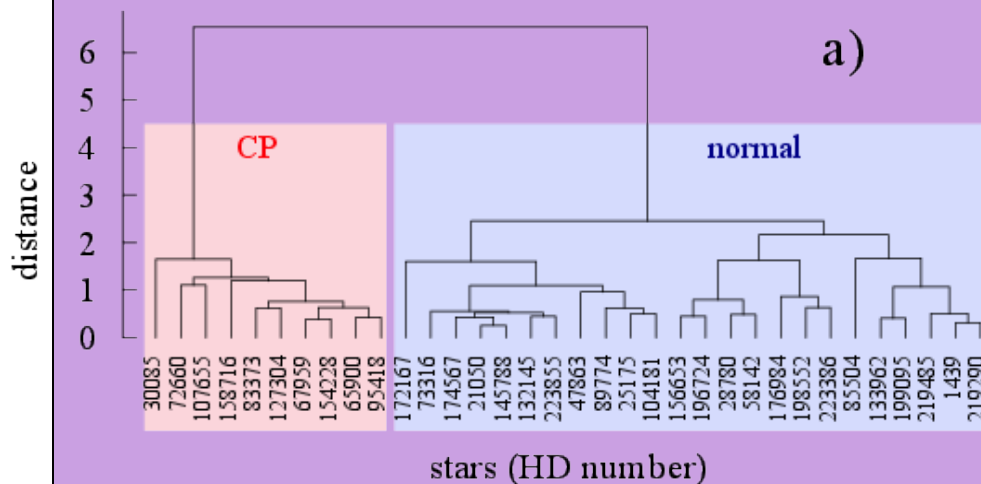
Data

- What composes the low rotational velocity mode around $2.5 M_{\odot}$?
 - Undetected binary or CP stars ?
 - Intrinsic slowly rotating normal stars or pole-on fast rotators ?
- Collect high quality spectroscopic data for 47 A0-A1 stars : $v \sin i < 75$ km/s
 - ELODIE and SOPHIE observations
 - ✓ Detect spectroscopic binary stars (SB2 and SB1)
 - ✓ Derive chemical abundances and classify normal vs CP stars

Observational programme – part A

Results (1)

- Abundance determinations for 14 chemical species (C, O, Mg, Si, Ca, Sc, Ti, Cr, Fe, Ni, Sr, Y, Zr, Ba)
- Classification

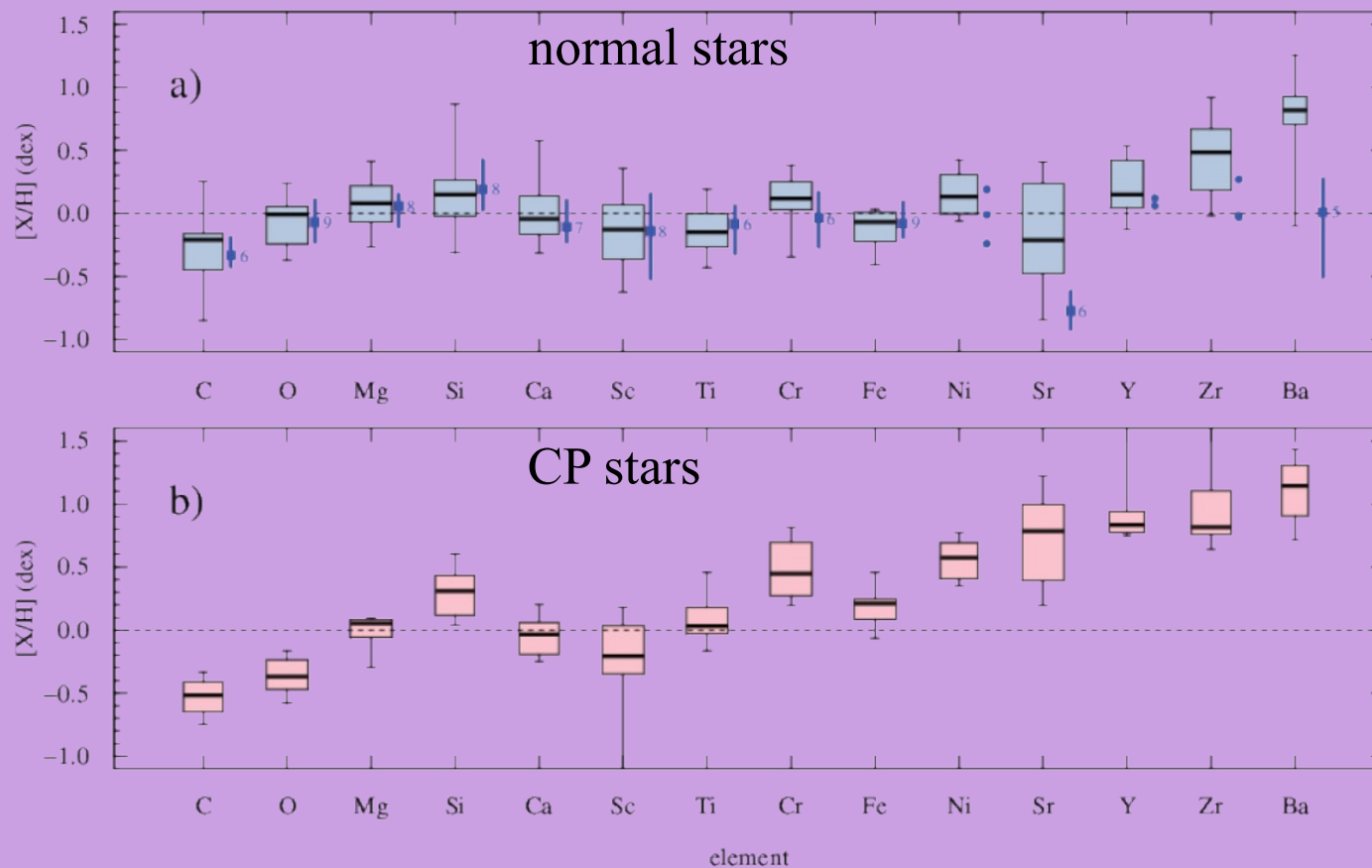


Royer et al. (2014)

Observational programme – part A

Results (2)

- Abundance pattern

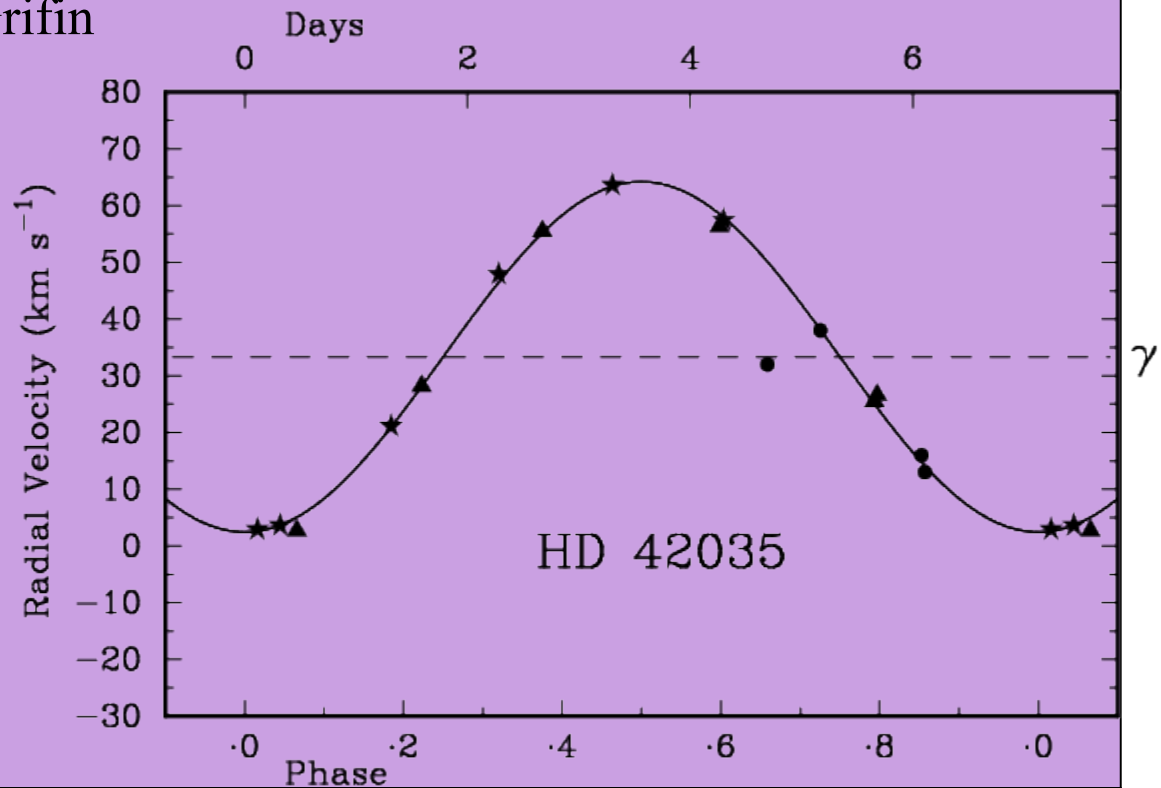


Observational programme part B

- In parallel, data are collected for a B8-B9-type stars sample
 - Same selection : a priori normal targets, $v_{\text{ sini}} < 75$ km/s
 - SOPHIE spectrograph, started in 2014, on going
 - ✓ 40 targets observed, 30 have normal abundances ...

Binary stars

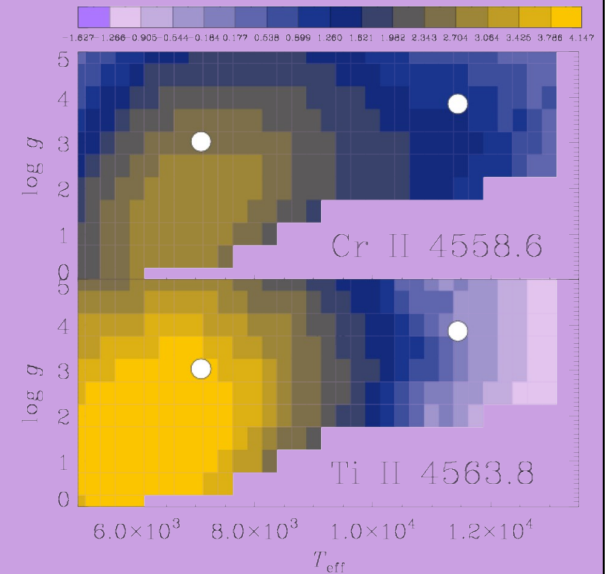
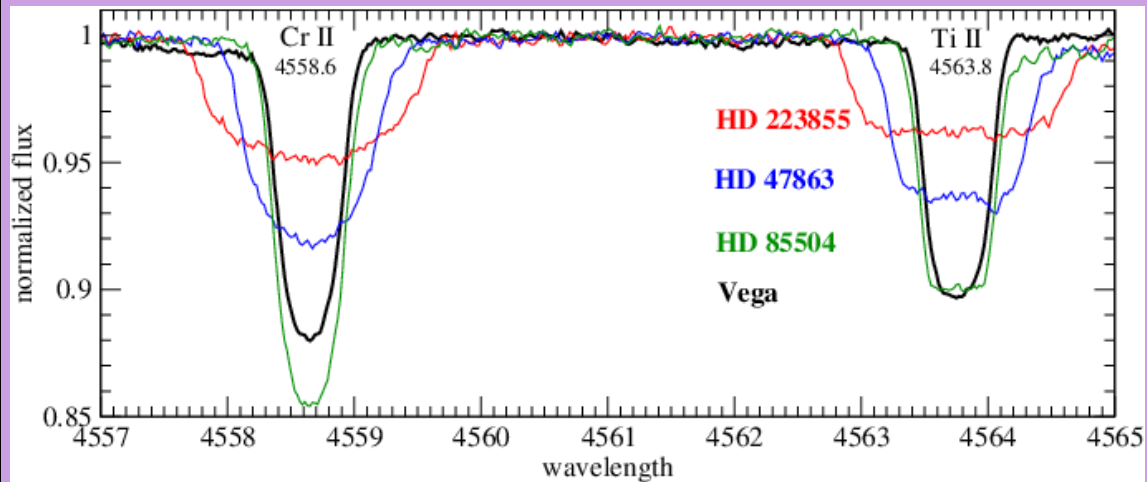
- Focus on HD 42035
- SB2 with a sharp component ($v \sin i = 3.7$ km/s) and a much shallower one
 - Collaboration with E. Griffin
 - RV follow-up



Normal single stars

Rotation rate

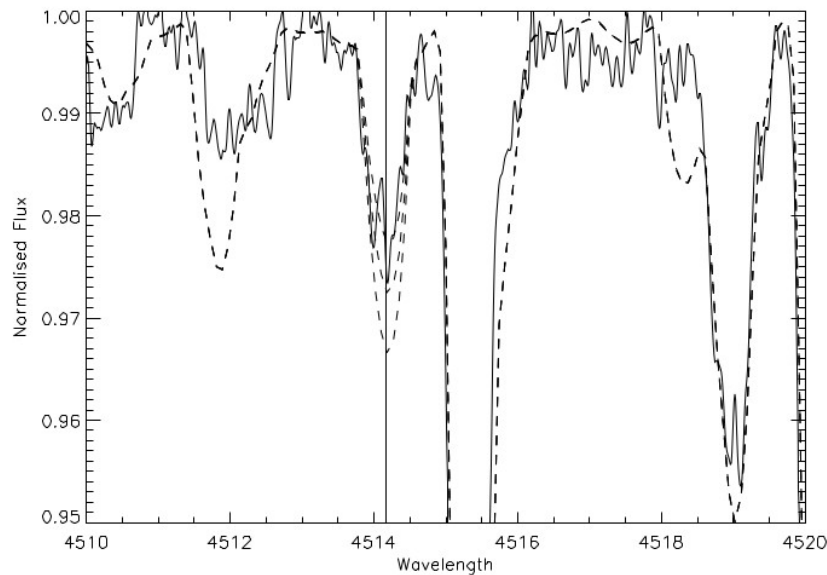
- Look for signatures of gravity darkening to disentangle **intrinsic slow rotation** from **inclination effect**
- Collaboration with Y. Frémat



Chemically peculiar stars

- Detection of new CP stars :

- 4 new HgMn stars: HD 18104, HD 30085, HD 32867, and HD 53588 (*Monier et al. 2015*)
- Focus on HD 30085 (*Monier et al. In prep.*)



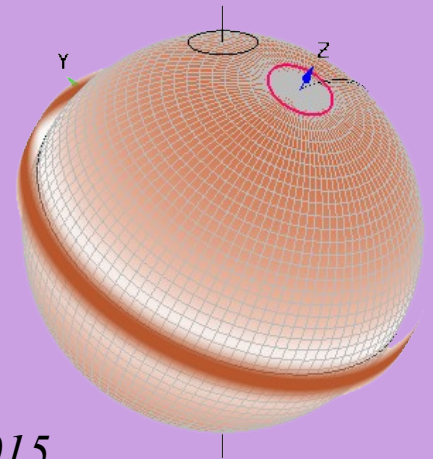
- ✓ He, Mg, Sc, Ni underabundant
- ✓ Ti, Cr, Mn, Y, Zr, Ba, Pt, Hg overabundant (Pt II 4514.17 Å line)
- ✓ No detected variation of line profiles (for now)

Distribution des abondances dans les atmosphères magnétiques – *G. Alecian & M. Stift*

Modélisation théorique et numérique incluant la diffusion microscopique

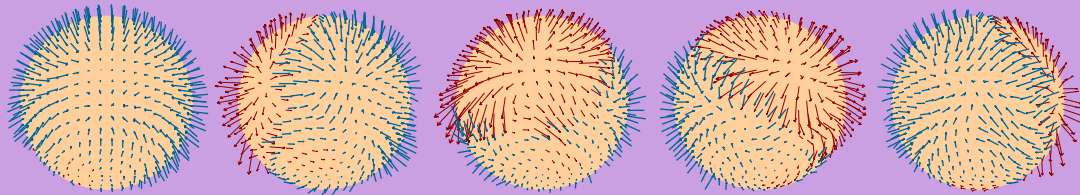
- Les travaux commencés l'an dernier ont été poursuivis.
- Sur le thème soutenu par l'AFE, en 2015: 1 article publié, 1 soumis et 1 en préparation

- Pour 2016, il est prévu de passer de la 2D vers la 3D avec un champ non-dipolaire ou un dipôle décentré afin de permettre une modélisation plus réaliste. Une étape future serait la modélisation pour un champ quelconque.

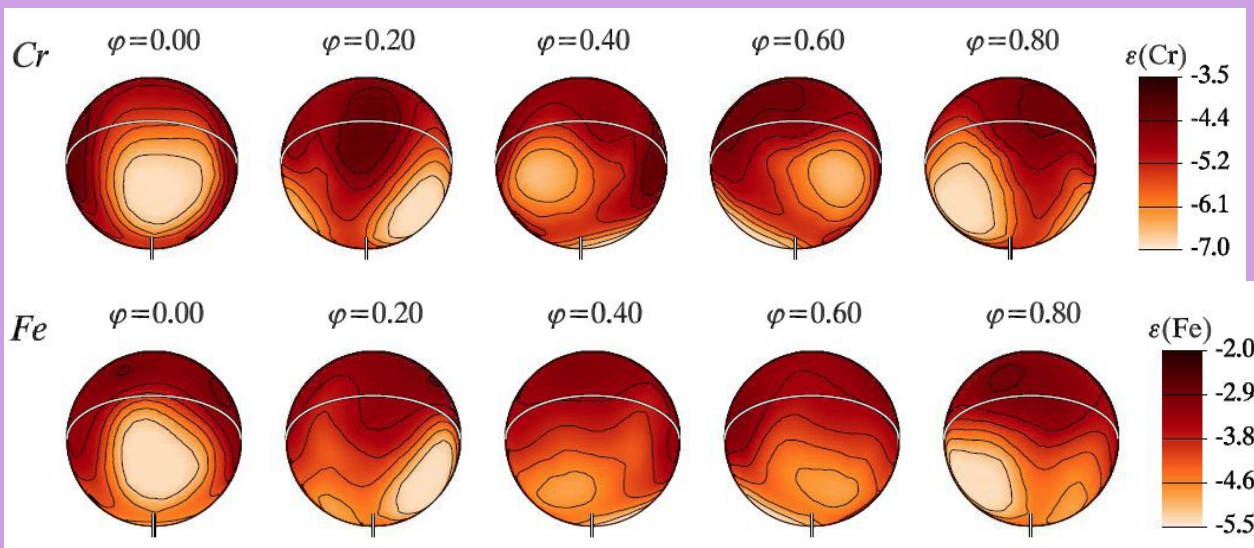


Alecian & Stift 2010, 2012, 2015
Modèles numériques dipolaires (ici le Fe)

Rappel: une atmosphère magnétique ApBp dans un cas observé: α^2 CVn



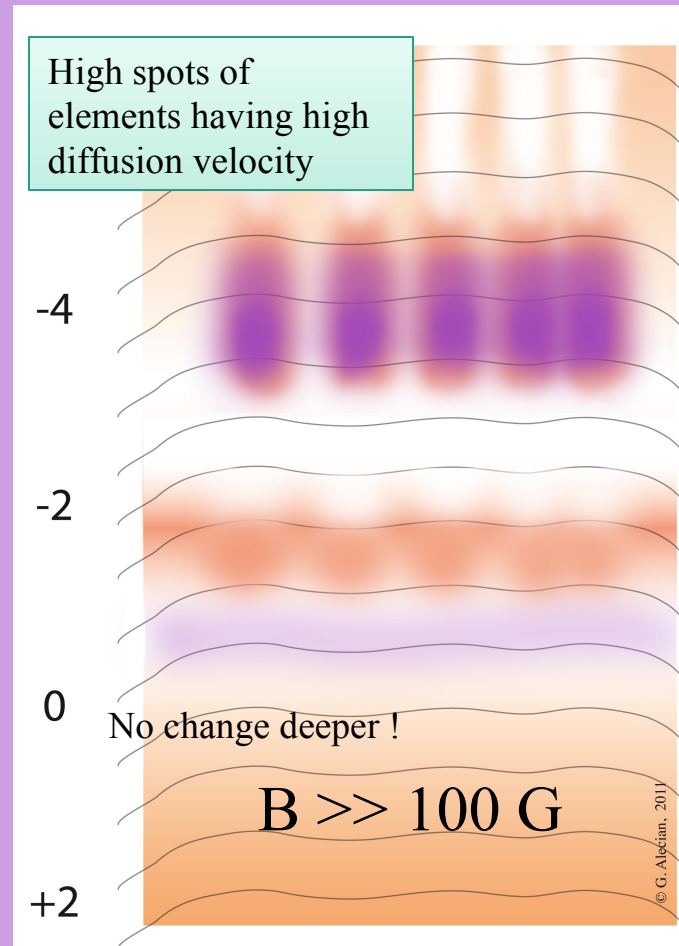
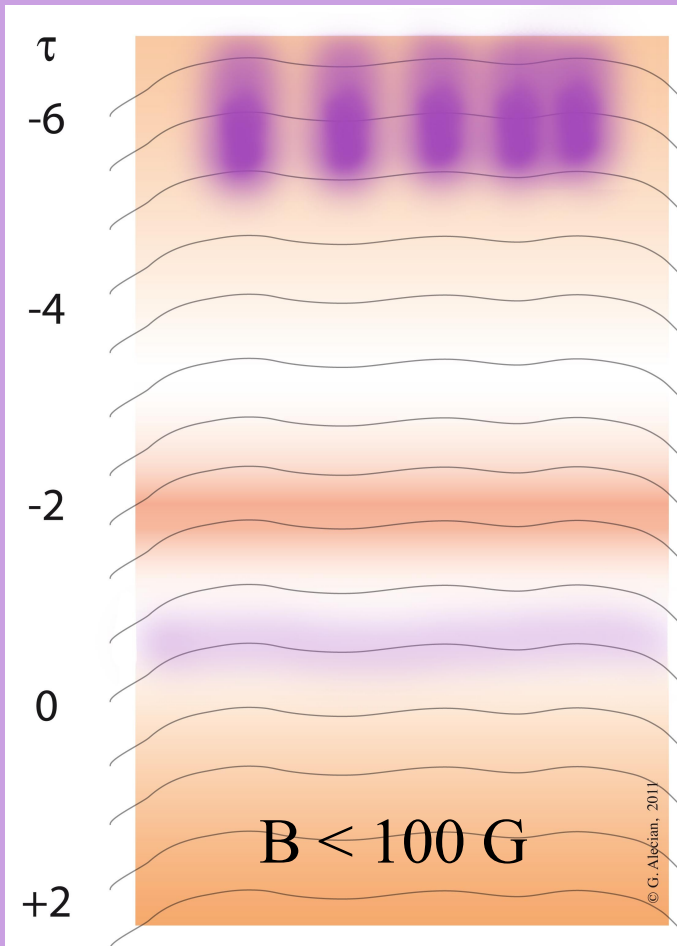
B



concentration

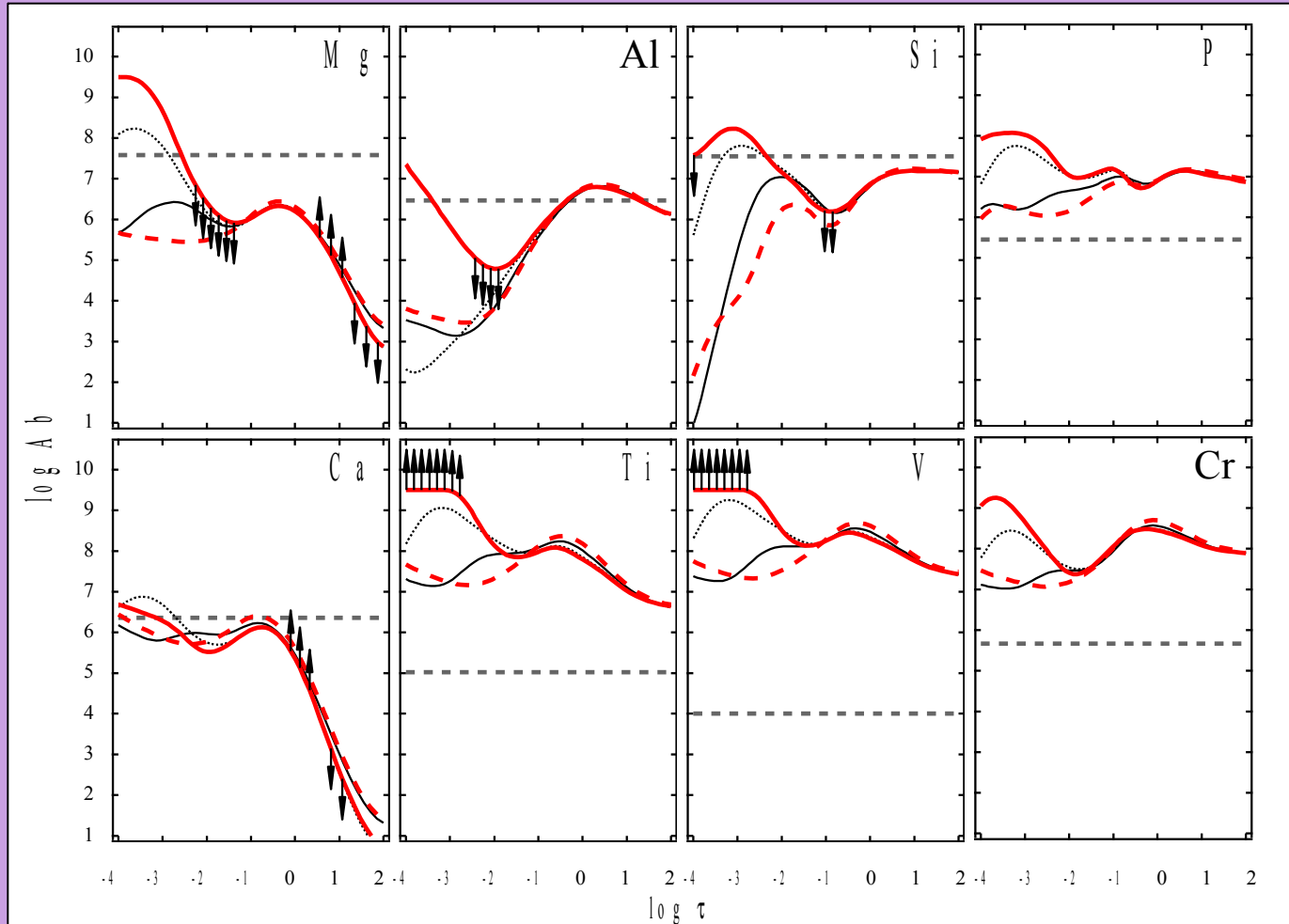
α^2 CVn, Silvester et al. 2014

Rappel: le modèle théorique



Stratifications d'équilibre théoriques 1D

(Alecian 2015, MNRAS, 454, 3143)

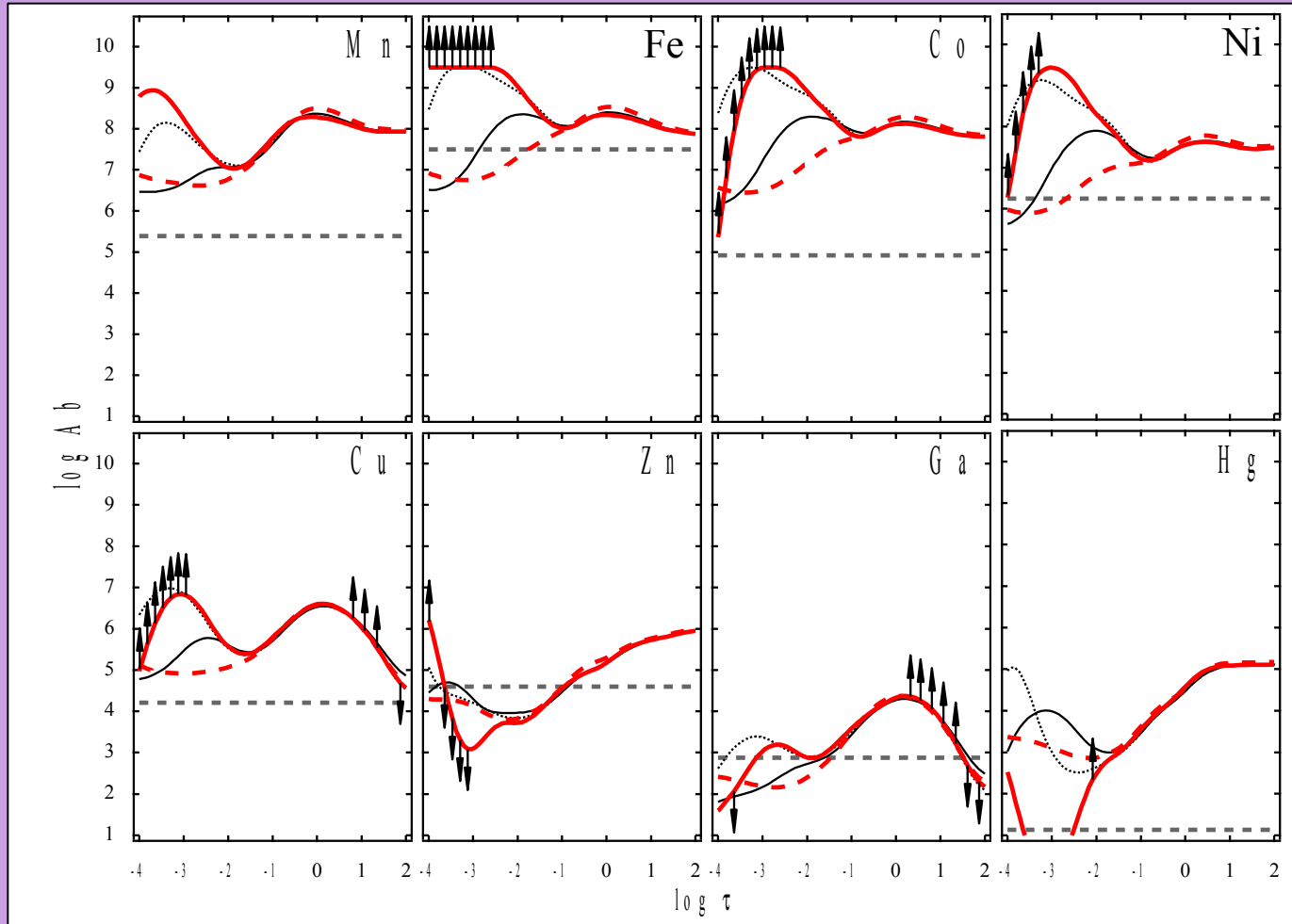


20 kG au
pôle
magnétique

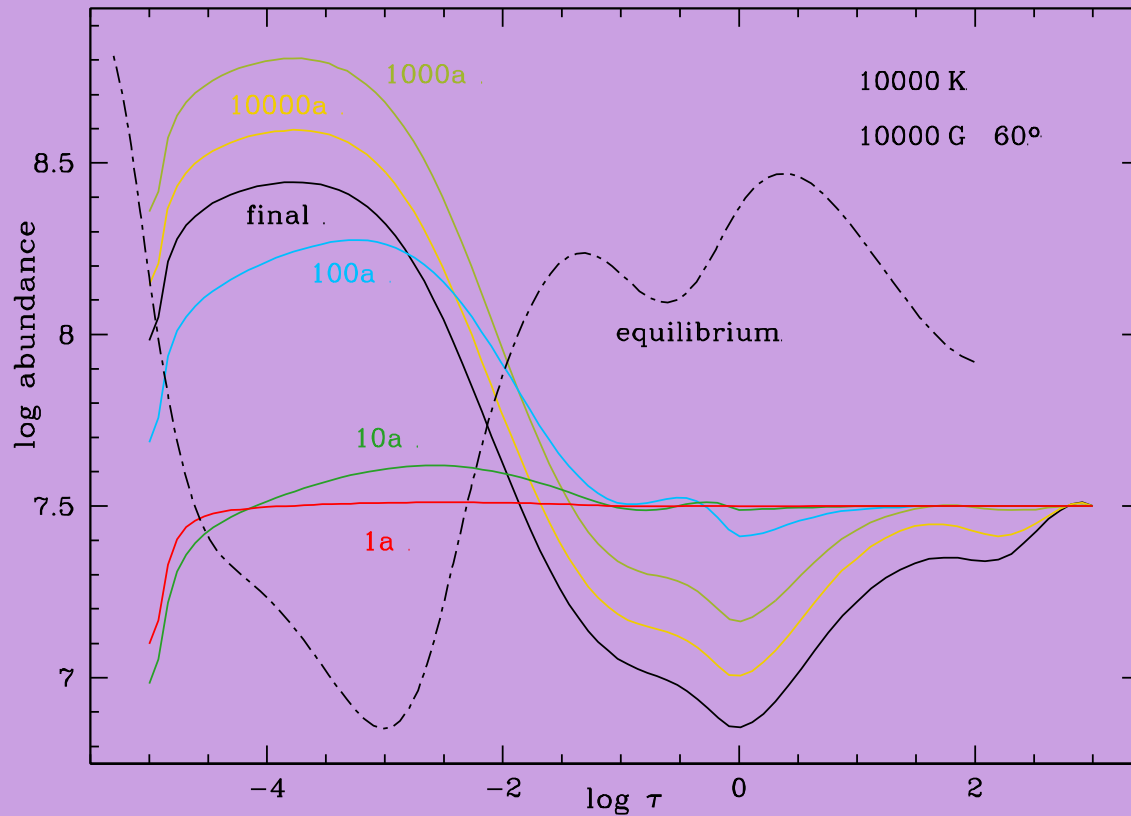
— Equateur magn.
- - - Pôle magn.

Stratifications d'équilibre 1D théorique

(Alecian 2015, MNRAS, 454, 3143) - Suite

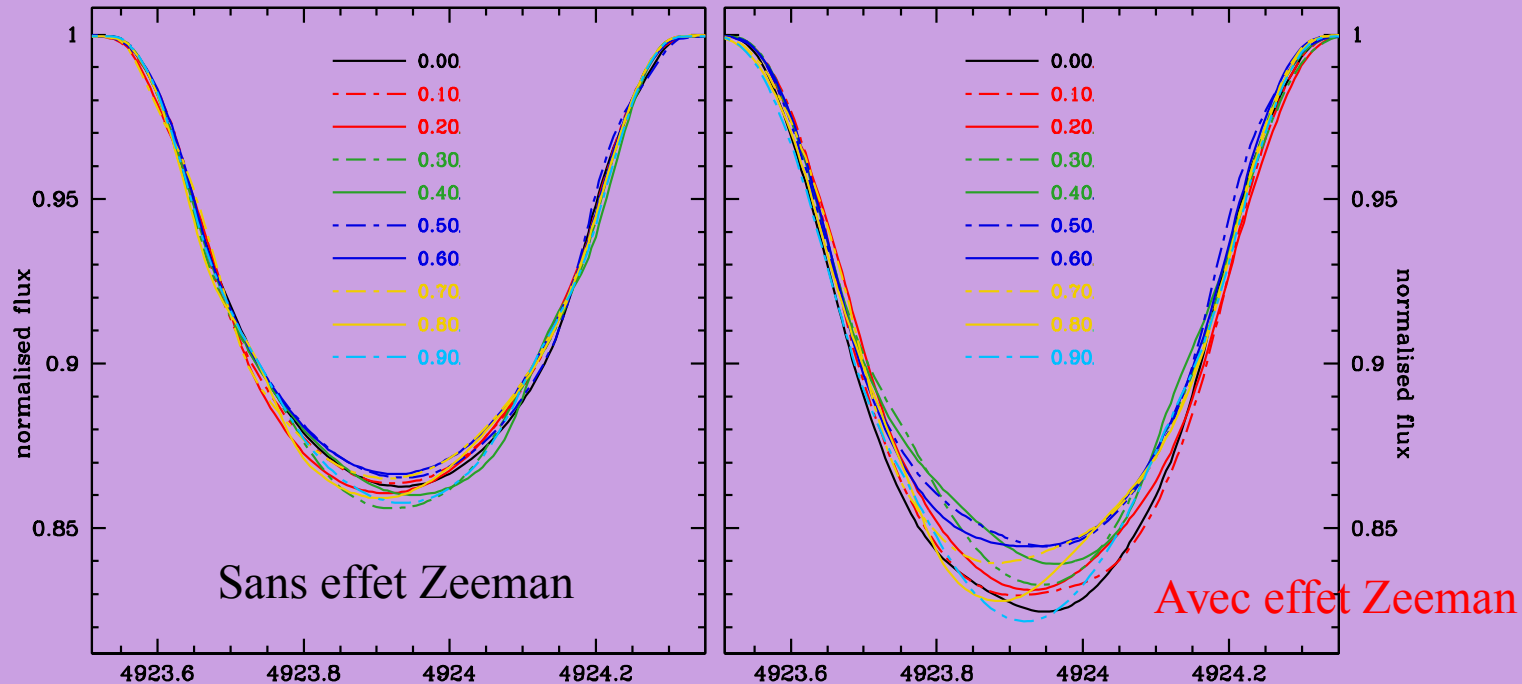


Time-dependent atomic diffusion in magnetic ApBp stars (Stift & Alecian, 2015, MNRAS soumis)



Comparaison
avec la solution
d'équilibre

Time-dependent atomic diffusion in magnetic ApBp stars (Stift & Alecian, 2015, MNRAS soumis) - SUITE



Variation du profile d'une raie (Fe II) au cours de la rotation, dans un modèle stratifié pour un dipôle centré. On voit à droite l'intensification Zeeman due à la rotation d'un anneau équatorial.

Tests of inversion methods (*Stift & Alecian*)

(*En cours*)

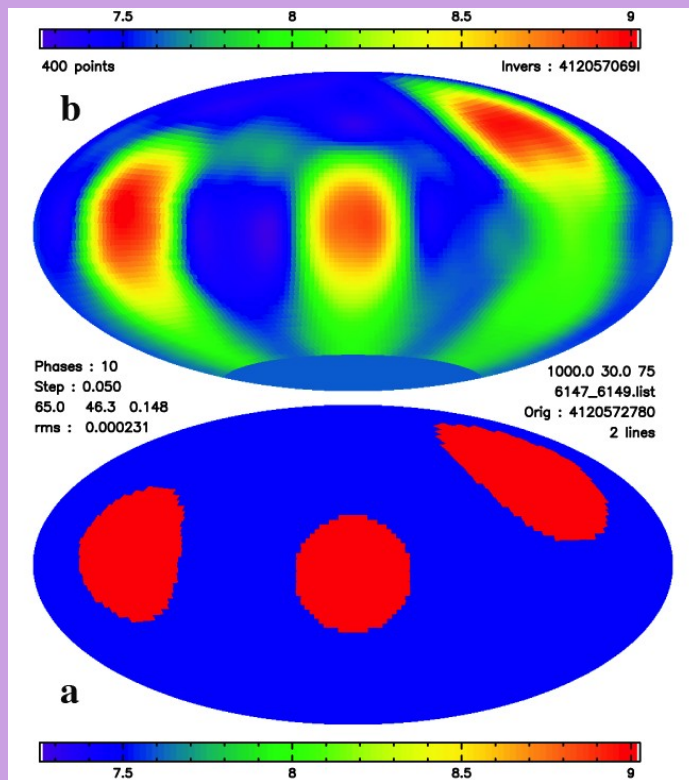
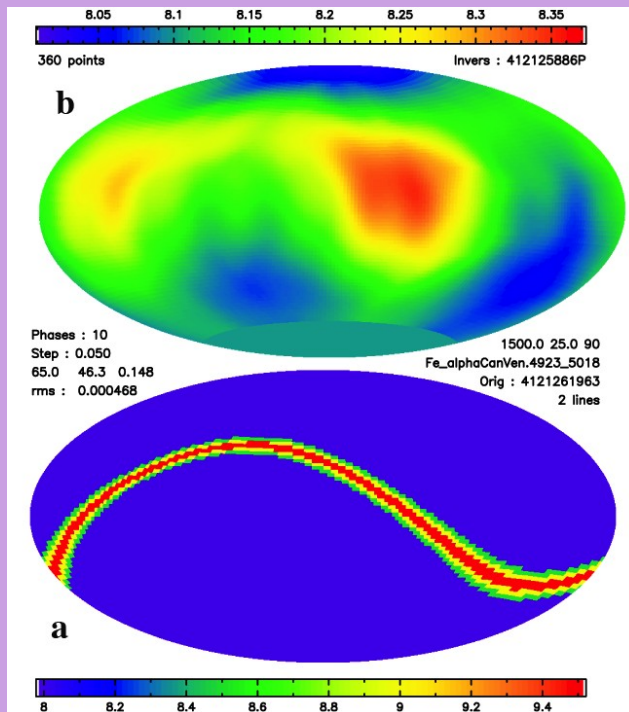


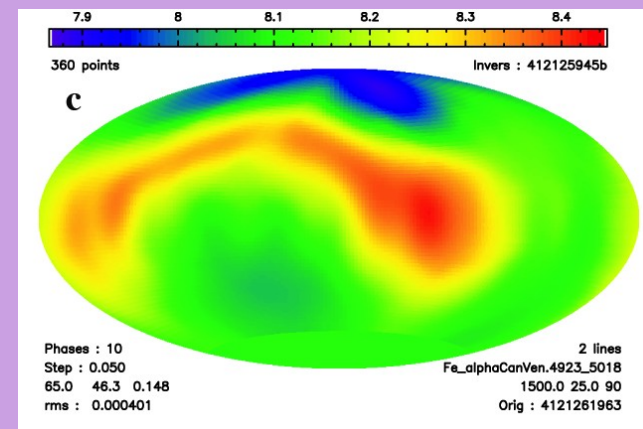
Figure 4. Equal-area Hammer projection of a 3-spot ZDM test case. The bottom part (**a**) of the plot shows the adopted spot distribution and contrast, the upper part (**b**) the result of the ZDM inversion. The spectral lines used are the two Fe lines at $\lambda 6147.74$ and $\lambda 6149.26$ at 10 equidistant rotational phases; the spectral resolution is $50 \text{ m}\text{\AA}$, giving an overall 400 “observational” points to be used in the inversion. The inclination i of the rotational axis is 65° , the magnetic field originating from a tilted eccentric dipole is characterised by an obliquity of 46.3° and by a displacement from the centre of 0.148 (in units of radius). The rotational velocity is 30 km s^{-1} . All stellar and magnetic field parameters are assumed to be exactly known for ZDM. The residual rms error of the fit to the line profiles points is $2.3 \cdot 10^{-4}$. Note: Hammer projections show the whole stellar surface from -90° to $+90^\circ$; the part invisible to the observer is clearly marked in the upper panel.

Cas simple (2 raies du Fe)

Tests of inversion methods (*Stift & Alecian*)



Inversion avec *Stokes I* seul



Inversion avec les 4 vecteurs de *Stokes*